

## بررسی کارایی روش‌های ناپارامتریک مبتنی بر تجزیه و تحلیل باقیمانده‌ها و پارامتریک در برآورد عدم قطعیت مدل هیدرولوژیکی

ابوالحسن فتح‌آبادی<sup>۱\*</sup>، حامد روحانی<sup>۲</sup>، سید مرتضی سیدیان<sup>۳</sup>

۱. استادیار، گروه مرتع و آبخیزداری، دانشگاه گنبد کاووس، استان گلستان.

۲. استادیار، گروه مرتع و آبخیزداری، دانشگاه گنبد کاووس، استان گلستان.

۳. استادیار، گروه مرتع و آبخیزداری، دانشگاه گنبد کاووس، استان گلستان.

(تاریخ دریافت: ۱۸/۱۱/۱۳۹۵ - تاریخ بازنگری: ۲۲/۶/۱۳۹۶ - تاریخ تصویب: ۲۵/۶/۱۳۹۶)

### چکیده

به منظور تصمیم‌گیری مناسب جهت اجرای اقدامات مدیریتی نیاز است تا علاوه بر خروجی مدل دامنه عدم قطعیت آن نیز برآورد گردد. در تحقیق حاضر کارایی روش‌های ناپارامتریک LEC (Local Errors and Clustering)، رگرسیون چندک و جنگل تصادفی در برآورد عدم قطعیت مدل یکپارچه HBV در حوضه چهل‌چای استان گلستان بررسی گردید. پس از بهینه‌سازی پارامترهای مدل HBV با استفاده از روش تکامل تصادفی جوامع، مدل برای دوره‌های واسنجی و صحت سنجی اجرا و مقادیر باقیمانده‌ها محاسبه گردید. نتایج نشان داد با در نظر گرفتن متغیرهای دبی برآورده، دبی مشاهداتی، مقدار بارش و مقادیر باقیمانده‌ها در حوضه مطالعه داده‌های ورودی در چهار خوشة فازی قرار می‌گیرند. نتایج برآورد عدم قطعیت نشان داد بزرگترین و کوچکترین مقدار دامنه عدم قطعیت به ترتیب توسط روش‌های LEC در حالتی که توسط ماشین بردار رگرسیون آموزش دیده باشد و روش جنگل تصادفی، بدست آمده است. با توجه به مقادیر MPI (Mean Prediction Interval)، PICP (Prediction Interval Coverage Probability) شاخص‌های ارزیابی (ARIL (Average Relative Interval Length) و GLUE Estimation) با توجه به مقادیر هر سه معیار ارزیابی عملکرد مناسبی نداشت.

**واژه‌های کلیدی:** بارش رواناب، جنگل تصادفی، رگرسیون چندک، GLUE

قطعیت آن نیز ارائه گردد. Chang *et al.* (1993) بیان می‌کنند عدم قطعیت جزئی از سیستم‌های طبیعی است و نمی‌توان آن را نادیده گرفت. در هیدرولوژی عدم قطعیت به مفهوم یک شاخص کمی از قابلیت اطمینان یک کمیت هیدرولوژی اندازه‌گیری شده یا خروجی یک مدل هیدرولوژیکی می‌باشد. این شاخص ممکن است به صورت خطای مدل یا یک دامنه‌ای از تغییرات کمیت مورد نظر باشد (Montanari, 2011). عدم قطعیت به دو گروه تصادفی (Aleatory); که منعکس کننده تغییرپذیری یک پدیده تکرار پذیر است و ریشه‌ای (Epistemic) که ناشی از نقص درک انسان از فرآیند است و با افزایش دانش فرد این نوع عدم قطعیت کاهش می‌یابد، تقسیم می‌شود (Walker *et al.*, 2003; Matott *et al.*, 2009).

با توجه به اهمیت عدم قطعیت در مدل‌سازی محققین مختلف روش‌های متفاوتی را برای برآورد عدم قطعیت ارائه داده‌اند که شامل شش دسته کلی ۱- روش‌های تحلیلی ۲-

### مقدمه

به دلیل پیچیدگی فرآیندها و مؤلفه‌های مرتبط با چرخه آب در طبیعت، جهت شناخت بهتر ماهیت غیرخطی و پیچیده آن نیاز به توسعه مدل‌های شبیه‌سازی ساده شده با توجه به اهداف مورد انتظار می‌باشد. از این نظر تلخیص شامل جایگزینی بخش‌هایی از جهان تحت مطالعه با یک مدل مشابه‌تر اما با ساختار ساده‌تر است. لذا برای حل بسیاری از مسائل عملی هیدرولوژی ناگزیر به استفاده از مدل‌ها هستیم. اغلب این مدل‌ها بر اساس روابط تعیینی بنا گذاشته شده‌اند و در نتیجه خروجی آنها نیز به صورت یک خروجی منفرد هستند. این در حالی است که به دلیل نادیده گرفتن برخی از فرآیندهای سیستم و ساده‌سازی‌ها خروجی مدل دارای نوعی عدم قطعیت می‌باشد و نیاز است علاوه بر خروجی تعیینی مدل دامنه عدم

Local LEC (Dogulu *et al* (2014); Local LEC (Quantile Errors and Clustering Regression) جهت برآورد عدم قطعیت مدل‌های هیدرولوژی آب سطحی و در تحقیق (Xu and Valocchi (2015) از Xu and Valocchi (2015) از روشهای جنگل تصادفی و ماشین بردار پشتیبان جهت برآورد عدم قطعیت مدل آب زیرزمینی استفاده شده است.

اگر چه با انتخاب مدل مناسب، استفاده از روشهای بهینه‌سازی مناسب و همچنین داده‌برداری دقیق‌تر تا حدودی می‌توان عدم قطعیت مربوط به این منابع را کاهش داد، اما همچنان منابع عدم قطعیت وجود دارد که بهطور کامل نمی‌توان آنها را نادیده گرفت. در این حالت راهکار عملی برآورد دامنه عدم قطعیت است. بدین منظور در این تحقیق عدم قطعیت و فاصله اطمینان ناشی از عدم قطعیت خروجی مدل HBV که پارامترهای آن با روش تکامل تصادفی جوامع Shuffled Complex Evolution Metropolis Algorithm) بهینه شده است با استفاده از روش ناپارامتریک LEC کمی می‌شود. روش LEC بر این ایده استوار است که باقیمانده دوره تاریخی (خطا) بین خروجی مدل و داده‌های مشاهداتی بهترین شاخص برای نشان دادن اختلاف بین نتایج مدل و مقادیر واقعی است که اطلاعات ارزشمندی برای ارزیابی عدم قطعیت مدل می‌دهد. در نهایت روش ارائه شده با دو روش ناپارامتریک جنگل تصادفی (Random Forest) و رگرسیون کوانتاپیل (QR) و روش پارامتریک GLUE در برآورد دامنه عدم قطعیت مقایسه شد.

## مواد و روش‌ها

### منطقه مورد مطالعه

در این مطالعه، ایستگاه هیدرومتری لزوره (کد ۰۵۳-۱۲) با مساحت تحت پوشش ۲۵۶/۸۳ کیلومتر مربع واقع در خروجی حوضه آبخیز چهل‌چای به عنوان ایستگاه مینا برای شبیه‌سازی بارش-رواناب انتخاب گردید. این حوضه در طول‌های جغرافیایی شرقی $^{\circ}30$ ، $^{\circ}22$ ، $^{\circ}55$  الی $^{\circ}30$ ، $^{\circ}37$  و عرض‌های جغرافیایی شمالی $^{\circ}30$ ، $^{\circ}57$  الی $^{\circ}36$  قرار دارد و از شمال به شهر مینودشت، از غرب به ارتفاعات محمدزمان‌خان و دشت حلقه، از شرق به حوضه‌ی آبخیز رودخانه قلی‌تپه و از جنوب به حوضه آبخیز تیل‌آباد محدود می‌گردد (شکل ۱). این منطقه از لحاظ تقسیمات سیاسی در محدوده شهرستان مینودشت در زیرحوضه‌ی بزرگ گرگان‌رود قرار دارد. حداقل ارتفاع حوضه ۱۳۵ متر و حداکثر آن ۲۵۵۰ متر از سطح دریا می‌باشد. ۶۰ درصد از سطح حوضه پوشیده از اراضی جنگلی است و بقیه سطح حوضه را اراضی زراعی در بر می‌گیرد (Rouhani and

روش‌های تقریبی (برای مثال روشهای مبتنی بر مومنتم اول و -۳- روشهای مبتنی بر شبیه‌سازی و نمونه‌برداری -۴- روشهای بیزی -۵- روشهای مبتنی بر تجزیه و تحلیل باقیماندها و -۶- روشهای مبتنی بر هوش مصنوعی هستند (Solomatine and Shrestha, 2009; Montanari, 2011). در این بین روشهای تحلیلی برای مدل‌های پیچیده و غیرخطی روابط پیچیده‌ای دارند. همچنین در روشهای مبتنی بر شبیه‌سازی و بیزی نیاز است تاتابع توزیع آماری مناسب انتخاب گردد. در این حالت صحت نتایج حاصل از برآورد عدم قطعیت بستگی به صحت فرضیات در نظر گرفته شده برای توابع توزیع پیشین دارد. علاوه بر این در بسیاری از روشهای فقط عدم قطعیت ناشی از یک منبع بررسی می‌شود. به عنوان مثال در روش مونت‌کارلو اغلب عدم قطعیت ناشی از ورودی‌ها (Khu and Werner, 2003) و در روش بیزی عدم قطعیت ناشی از پارامترها (Houska *et al*, 2014) بررسی می‌گردد. این در حالی است که عمولاً مدیران و تصمیم‌گیران منابع آب نیاز به عدم قطعیت کلی خروجی مدل دارند. در این حالت برآورد عدم قطعیت کلی مدل با استفاده از بررسی هر یک از منابع عدم قطعیت از نظر روابط و محاسبات امری مشکل است و در برخی موارد محاسبه این عدم قطعیت ممکن نمی‌باشد. در حالی در رویکردهایی که عدم قطعیت با تجزیه و تحلیل باقیمانده‌ها برآورد می‌شود، کمتر با این مشکل مواجه هستند. در این حالت فرض می‌شود که عدم قطعیت پارامترها، ورودی و ساختار مدل به نوعی در مقادیر باقیمانده‌ها خلاصه شده است (Xu and Valocchi, 2015). در این ارتباط Evin *et al* (2014) مشاهده کردند که نتایج روشهای مبتنی بر تجزیه و تحلیل باقیمانده‌ها در مقایسه با نتایج روش‌هایی که اثر تمام منابع عدم قطعیت را در نظر می‌گیرند، قابل قبول‌تر است. در روشهای مبتنی بر تجزیه و تحلیل باقیمانده‌ها نیازی به برخی فرضیات (مثل نرمال بودن باقیمانده‌ها، عدم خود همبستگی بین مقادیر باقیمانده‌ها) در مورد باقیمانده‌ها نمی‌باشد. در واقع این روشهای بر اساس تجزیه و تحلیل مقادیر باقیمانده‌ها قادرند روابط پیچیده بین خروجی (به عنوان مثال مقادیر باقیمانده یا صدک‌های آن) و ورودی‌ها را مدل‌سازی کنند (Xu and Valocchi, 2015). در این روشهای فرض می‌شود خطای (مقادیر باقیمانده‌ها) که در زمان حال اتفاق افتاده در زمان‌های آینده با شرایط یکسان نیز اتفاق خواهد افتاد در این حالت از خطای اتفاق افتاده در زمان حال برای تعیین عدم قطعیت خروجی مدل در آینده استفاده می‌گردد (López López *et al*, 2014) Shrestha (2009); Weerts *et al* (2011); López López *et al*

(که این پارامتر با توجه به داده‌های مشاهداتی بهینه می‌شود) باشد تبخیر واقعی به صورت تابعی خطی از تبخیر پتانسیل در نظر گرفته می‌شود و چنانچه ارتفاع آب بیشتر از حد LP باشد تبخیر واقعی برابر با تبخیر پتانسیل در نظر گرفته می‌شود. آن قسمت از بارش که در سطح خاک جریان ندارد به ذخیره آب خاک اضافه می‌شود. در بخش رواناب، خروجی اصلی مدل یعنی جریان خروجی حوضه که خود شامل سه بخش جریان سطحی، زیرسطحی و جریان پایه است، محاسبه می‌شود. در این قسمت برای تعیین دبی خروجی از دو مخزن استفاده می‌شود. اولین مخزن نزدیک سطح خاک بوده و برای محاسبه رواناب سطحی و زیر قشری استفاده می‌شود و دومین مخزن در عمق بیشتر قرار گرفته و برای شبیه‌سازی جریان پایه استفاده می‌شود. آن قسمت از آب باران و ذوب برف که بیشتر از ظرفیت نگهداری آب خاک است وارد مخزن اول می‌شود. هر دو مخزن در ارتباط با هم بوده و با توجه به ذخیره آب هر مخزن، آستانه ارتفاع در مخزن و ضرایب خشکیدگی بخش مختلف رواناب محاسبه می‌شود (AghaKouchak and Habib, 2010). ورودی‌های مدل HBV شامل داده‌های بارش، دما و تبخیر و تعرق پتانسیل هستند و در مجموع مدل دارای ۱۳ پارامتر است که نیاز است تا با روش مناسب این پارامترها بهینه شوند.

#### روش‌های برآورد عدم قطعیت

فرض می‌شود با بردار ورودی‌های  $x$  و پارامترهای  $\theta$ ، مدل تعیینی  $M$  (که در اینجا مدل HBV است) دارای خروجی  $\hat{y}$  است. منابع خطای مختلف (ورودی‌ها، ساختار و پارامترهای مدل) بر خروجی مدل تأثیر می‌گذارند در این حالت خروجی سیستم می‌تواند به صورت رابطه (۱) بیان گردد.

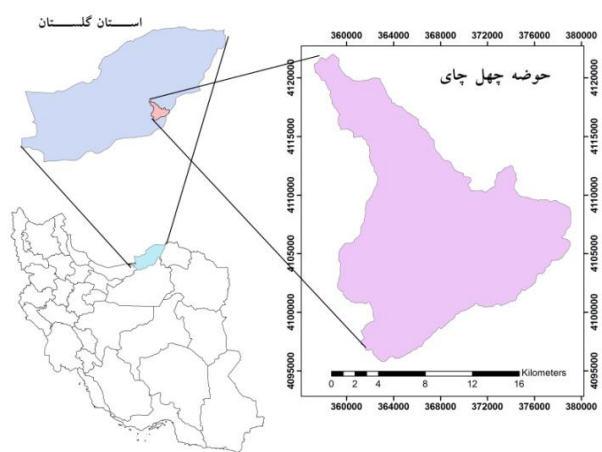
$$y_t = \hat{y} + e \quad (رابطه ۱)$$

که در اینجا  $e$  مقدار کل خطای مدل و  $t$  واحد زمان است. در روش‌های مبتنی بر داده فرض می‌شود عدم قطعیت منابع مختلف در مقادیر باقیماندها خلاصه شده است؛ بنابراین با بررسی باقیماندها و تجزیه و تحلیل آنها می‌توان دامنه عدم قطعیت خروجی مدل را بدست آورد.

#### روش LEC

این روش اولین بار توسط Shrestha and Solomatine (2006) معرفی شد. در این روش یک مدل رگرسیونی غیرخطی برای تخمین چندک‌های توزیع باقیماندها ساخته می‌شود و فرض می‌شود که عدم قطعیت خروجی مدل به خصوصیات سیستم و مقادیر باقیماندها بستگی دارد (Dogulu *et al.*, 2015). برای اجرای روش LEC مراحل کار به شرح زیر است:

Farahi Moghadam, 2014) در این تحقیق داده‌های پایه مورد استفاده شامل داده‌های مشاهداتی بارندگی، دبی رودخانه و تبخیر تعرق روزانه می‌باشد. از سال آبی ۱۳۶۷-۶۸ تا سال آبی ۱۳۷۱-۷۲ برای دوره واسنجی مدل و از سال آبی ۱۳۷۲-۷۳ تا سال ۱۳۷۳-۷۴ برای دوره اعتبارسنجی انتخاب گردید. رودخانه مورد نظر دائمی می‌باشد که دبی متوسط سالیانه آن در دوره‌های واسنجی و اعتبارسنجی به ترتیب ۲/۷۱ و ۲/۶۲ متر مکعب بر ثانیه است.



شکل ۱. موقعیت حوضه چهل چای

#### روش تحقیق

مدل هیدرولوژیکی (Hydrologiska Byrans Vattenavdelning) HBV مدل HBV یک مدل بارش-رواناب یکپارچه مفهومی جهت شبیه‌سازی فرآیندهای هیدرولوژی حوضه آبخیز است که توسط موسسه مطالعات هیدرولوژی و هواشناسی سوئد (Swedish Meteorological and Hydrological Institute) برای پیش‌بینی مقدار رواناب سیستم‌های تولید انرژی در سال ۱۹۷۰ ارائه شده است. اطلاعات ورودی این مدل علاوه بر کم بودن، در دسترس نیز هستند. همچنین در شرایط آب و هوایی متفاوت، این مدل قابلیت استفاده دارد (Siebert and Vis, 2012). این مدل شامل سه بخش اصلی: ۱- بخش ذوب و تجمع برف - ۲- بخش رطوبت خاک و بارش مؤثر - ۳- بخش رواناب، می‌باشد. در بخش ذوب و تجمع برف در هر گام زمانی با توجه به دمای مشاهداتی و دمای آستانه  $T$ ، بارش دریافتی یا به صورت باران یا به صورت برف در نظر گرفته می‌شود. تا زمانی که دما کمتر از دمای آستانه باشد برف تجمع کرده و هیچ‌گونه روانابی تشکیل نمی‌شود. آب حاصل از ذوب برف و باران وارد بخش خاک شده و با توجه به رطوبت خاک و همچنین حداکثر قابلیت ذخیره رطوبت توسط خاک، مقدار روانابی که در سطح خاک جریان پیدا می‌کند محاسبه می‌شود. در این بخش چنانچه ذخیره آب خاک از ۰ تا حد LP

خوشبندی بردارهای ورودی و باقیماندهای متناظر آنها گردید. تهیه تابع توزیع تجمعی تجربی و برآورد چندک‌های باقیماندهای در هر خوش. در این گام با تجزیه و تحلیل مقادیر باقیماندها در هر خوش تابع توزیع تجمعی تجربی برای مقادیر باقیماندها در هر خوش برآورد و چندک‌های مختلف محاسبه می‌شوند. در روش خوشبندی فازی هر داده با درجه عضویت‌های مختلف به چند خوش به فازی تعلق دارد؛ بنابراین نمی‌توان چندک‌ها را فقط با در نظر گرفتن مقادیر باقیماندهای هر خوش محاسبه کرد؛ بلکه باید مقادیر عضویت باقیماندها در هر خوش فازی را نیز در محاسبه مقادیر چندک‌ها در نظر گرفت. بدین منظور در ابتدا مقادیر باقیماندها بصورت صعودی مرتب می‌شوند. سپس با استفاده از رابطه‌های (۲) و (۳) مقادیر چندک (در این تحقیق چندک ۰/۰۵) مربوط به حد پایین برآورد می‌گردد (Shrestha and Solomatine, 2006).

$$(رابطه ۲) \quad PIC_i^L = e_j$$

$$(رابطه ۳) \quad j: \sum_{k=1}^j \mu_{i,k} < a/2 \sum_{j=1}^n \mu_{i,j}$$

در این رابطه  $j$  حداکثر رتبه باقیماندها است که نامعادله بالا را برآورد کند،  $e_j$  مقدار باقیمانده مربوط به نمونه  $i$ ،  $j$  مقدار عضویت  $j$  امین نمونه در خوش  $i$  است.  $a$  سطح معنی‌داری (در این تحقیق سطوح معنی‌داری ۰/۰۲۵ و ۰/۹۷۵ مورد بررسی قرار گرفتند) و  $n$  تعداد کل نمونه‌هایی است که در خوش  $i$  دارای عضویت هستند. برای حد بالا نیز مشابه رابطه‌های (۲) و (۳) استفاده می‌گردد.

محاسبه چندک‌های باقیماندها در سطوح معنی‌داری مورد نظر برای داده‌های دوره واسنجی. چندک‌های هر خوش با استفاده از رابطه‌های (۲) و (۳) محاسبه می‌شوند. ولی چنانچه هدف محاسبه دامنه عدم قطعیت برای هر بردار ورودی باشد نیاز است تا مقادیر چندک‌ها برای هر بردار ورودی داده‌های دوره واسنجی محاسبه گردد. در صورتی که داده‌ها با استفاده از خوشبندی فازی کلاس‌بندی شده باشند برای محاسبه چندک‌ها برای هر بردار ورودی از رویکرد Fuzzy Committee استفاده می‌شود (Solomatine and Siek, 2006) (رابطه ۴).

$$(رابطه ۴) \quad e_t^p = \sum_{i=1}^c \mu_{i,t}^{2/m} e_i^p$$

$e_t^p$  مقدار چندک  $p$  باقیماندها برای بردار ورودی زمان  $t$ ،  $e_i^p$  مقدار چندک  $p$  خوش  $i$ ،  $m$  مقدار ضریب صاف‌کاری توانی،  $\mu_{i,t}$  مقدار عضویت برداری ورودی زمان  $t$  در خوش  $i$  و  $c$  تعداد کل خوش‌های هستند. به عبارت دیگر در رابطه (۴) برای بدست آوردن مقدار چندک هر بردار ورودی، متناسب با عضویت بردار ورودی در کلاس‌های مختلف از مقادیر چندک‌ها متوسط‌گیری می‌شود.

بهینه‌سازی پارامترهای مدل هیدرولوژیکی. در این قسمت پارامترهای مدل HBV توسط روش بهینه‌سازی SCE\_MA بهینه می‌شوند. در این حالت با انتخاب پارامترهای بهینه قسمتی از عدم قطعیت مدل ناشی از پارامترها از بین می‌رود. اجرای مدل هیدرولوژیکی بهینه شده برای دوره واسنجی و صحت سنجی و بدست آوردن مقادیر باقیماندها.

تعیین شرایط هیدرولوژیکی مشابه و مهمترین متغیرهایی که بر روی باقیماندها مؤثر هستند. در روش LEC فرض می‌شود در شرایط هیدرولوژیکی مشابه مقادیر باقیماندهای مدل از لحاظ بزرگی و توزیع شبیه یکدیگر هستند. بنابراین در ابتدا شرایط مشابه هیدرولوژیکی برای دوره‌های زمانی مختلف تعیین می‌شود. در مدل‌های هیدرولوژیکی شرایط هیدرولوژیکی به وسیله مقادیر متغیرهایی مانند بارندگی، دبی و غیره تعیین می‌گردد. بنابراین ابتدا بهترین ورودی‌ها که تبیین‌کننده شرایط هیدرولوژیکی مشابه با مقادیر باقیماندهای شبیه به هم هستند، تعیین می‌شوند. بدین منظور در این تحقیق مقادیر دبی روزانه مشاهداتی، دبی روزانه شبیه‌سازی شده، باقیماندها در گام زمانی قبل، بارندگی روزانه و تبخیر و تعرق روزانه از یک تا پنج گام زمانی قبل به عنوان متغیرهای محتمل برای تعیین شرایط هیدرولوژیکی مشابه در نظر گرفته شدند. سپس با استفاده از مقادیر همبستگی بین ورودی‌ها و باقیماندها در هر گام زمانی و همچنین تابع IMPORTANCE جنگل تصادفی بهترین متغیرهای ورودی تعیین شدند.

تعیین تعداد خوش‌های فازی و خوشبندی ورودی‌ها و باقیماندهای متناظر آنها. پس از تعیین ورودی‌های مناسب با استفاده از روش خوشبندی فازی، مقادیر عضویت هر یک از بردارهای ورودی و مقادیر باقیماندهای متناظر آنها برای هر گام زمانی در خوش‌های مختلف فازی محاسبه می‌شود. در روش خوشبندی فازی مسئله مهم تعیین تعداد خوش‌ها است که در این تحقیق از معیارهای Vpc (Partition Coefficient) Xie and V<sub>XB</sub> (Bezdek 1974 a,b) (Partition Entropy) and Fukuyama and Sugeno, 1989 و Vfs (Beni, 1991 Sugeno 1989) برای تعیین تعداد خوش بهینه استفاده شد. علاوه بر معیارهای فوق با توجه به آن که در این تحقیق هدف برآورد دامنه عدم قطعیت است از معیارهای ارزیابی مربوط به دامنه (Mean Prediction MPI) عدم قطعیت شامل معیارهای (Prediction Interval Coverage Probability) و (Interval) PICP نیز برای تعیین تعداد خوش بهینه استفاده گردید Shrestha and Solomatine, 2006; Solomatine and ) (Shrestha, 2009. پس از تعیین تعداد خوش بهینه، اقدام به

چندک‌ها یک برآورد کامل ازتابع توزیع متغیر وابسته (که به نوعی نماینگر مقدار عدم قطعیت آن پارامتر است) بدست می‌آید Lopez Lopez et al (Weerts et al 2011). در تحقیق Lopez Lopez et al (2014) چهار مدل رگرسیون چندک شامل مدل با داده‌های اولیه، مدل (Normal quantile transformation) مدل در حالتی که مسئله تقاطع چندک‌ها (Non-crossing quantile regression) مدل در دوره صحت سنجی در ابتدا با استفاده از مدل (Piecewise linear quantile regression) رگرسیون چندکی خطی قطعه قطعه (Piecewise linear quantile regression) سورن (Severn) مقایسه و ارزیابی گردید. آنها بیان کردند که عملکرد هر چهار روش نسب به یکدیگر تفاوتی چندک‌های نداشته‌اند. بنابراین در این تحقیق ساده‌ترین مدل که ورودی آن مقادیر دبی برآورده بدون نرم‌افزاری است، استفاده گردید. در روش رگرسیون چندکی برای هر چندک  $\tau$  یک رابطه خطی بین مقادیر مشاهداتی ( $y$ ) و شبیه‌سازی شده ( $\hat{y}$ ) بصورت رابطه (۷) برقرار است.

$$y = a_\tau \hat{y} + b_\tau \quad (\text{رابطه } 7)$$

در رابطه (۷)،  $a_\tau$  و  $b_\tau$  پارامترهای مدل رگرسیون چندکی هستند که با استفاده از حداقل کردن جمع مربعات خطای رابطه (۷) برآورده می‌شوند.

$$\min \sum_{j=1}^J p_\tau(y_j - (a_\tau \hat{y}_j + b_\tau)) \quad (\text{رابطه } 8)$$

در اینجا  $y$  و  $\hat{y}$  مقادیر زامین نمونه از کل نمونه‌ها و  $p_\tau$  تابع رگرسیون چندکی برای چندک  $\tau$  هستند.

$$p_\tau(\epsilon_j) = \begin{cases} (\tau - 1)\cdot\epsilon_j, & \epsilon_j \leq 0 \\ \tau\cdot\epsilon_j, & \epsilon_j \geq 0 \end{cases} \quad (\text{رابطه } 9)$$

رابطه (۹) برای باقیمانده ( $\epsilon_j$ ) که به عنوان تفاوت بین مقادیر مشاهداتی و برآورده برای چندک  $\tau$  است، تعریف می‌شود. در این تحقیق از پکیج quantreg نرم‌افزار R برای رگرسیون چندک استفاده شد.

#### جنگل تصادفی (RF)

روش درخت تصمیم یکی از روش‌های ناپارامتریک مناسب برای کلاس‌بندی و رگرسیون است. از مزایای این روش ساده بودن فهم آن و عدم نیاز به فرض توزیع آماری برای داده‌ها است. از معایب این روش نیز عدم پایایی آن می‌باشد؛ بطوری که کوچکترین تغییر در داده‌های ورودی منجر به تغییر گسترده در ساختار درخت و خروجی مدل می‌شود. جهت رفع این مشکل Breiman (2001)، جنگل تصادفی که بر اساس ایجاد تعداد زیادی درخت تصمیم ارائه داد. در این روش هر درخت تصمیم بر روی نمونه بوتاسترپ (Bootstrap) که با نمونه‌برداری همراه با جایگذاری داده اولیه بدست آمده است، توسعه داده می‌شود.

محاسبه چندک‌های باقیمانده‌ها در سطوح معنی‌داری مورد نظر برای داده‌های دوره صحت سنجی. در گام قبل مقادیر چندک‌ها برای هر بردار ورودی دوره واسنجی محاسبه گردید. در این گام به منظور محاسبه مقادیر چندک‌ها برای بردارهای ورودی مربوط به دوره صحت سنجی در ابتدا با استفاده از مدل هوش مصنوعی (رابطه ۵) یک رابطه بین چندک‌ها و ورودی‌ها در دوره واسنجی برقرار می‌شود، سپس با اجرای مدل برای بردارهای ورودی دوره صحت سنجی مقادیر چندک‌ها برای داده‌های دوره صحت سنجی محاسبه می‌شوند.

$$e^p = U^p(X_u, \theta^p) \quad (\text{رابطه } 5)$$

در اینجا  $\theta^p$  بردار پارامترهای مدل  $U^p$  برای  $p$  امین چندک است.

محاسبه دامنه عدم قطعیت برای مقادیر دبی در دوره واسنجی و صحت سنجی. پس از محاسبه مقادیر چندک‌های باقیمانده‌ها برای بردارهای ورودی دوره واسنجی و صحت سنجی، در نهایت دامنه عدم قطعیت برای خروجی مدل به صورت رابطه (۶) محاسبه می‌شود.

$$y^p = \hat{y} + e^p \quad (\text{رابطه } 6)$$

در اینجا  $y^p$  چندک  $p$  خروجی مدل (دبی شبیه‌سازی شده) است. به منظور برآورده برای مثال فاصله اطمینان ۹۰ درصد نیاز است تا مدل‌های  $U^{95}$  (صدک ۹۵ درصد) و  $U^5$  (صدک ۵ درصدی) ساخته شوند.

#### رگرسیون چندک (QR)

رگرسیون چندک یک روش آماری با قابلیت محاسبه و رسم منحنی‌های رگرسیونی متفاوت و منطبق با نقاط چندکی مختلف است، این روش ضمن ارائه تصویری کامل و جامع از داده‌ها، امکان سنجش ارتباط بین متغیرهای مستقل با چندک‌های مورد نظر متغیر وابسته را بدون نیاز به نرم‌افزار بودن داده‌ها و حتی در حضور نقاط دور افتاده فراهم می‌کند. در روش رگرسیون چندک سعی می‌شود تا تابع توزیع احتمال متغیر وابسته با استفاده از یک یا تعداد بیشتری متغیر مستقل تشریح شود (Koenker and Bassett, 1978; Koenker, 2005). از آنجایی که این رگرسیون بر اساس چندک‌ها است، داده‌های پرت نمی‌توانند آن را تحت تأثیر قرار دهند. همچنین در این روش نیازی به فرض پیروی داده‌ها از توزیع مشخص مثل توزیع نرمال، بتا و غیره نمی‌باشد. بنابراین به نوعی یک روش ناپارامتریک است. در مقایسه با روش رگرسیون معمولی در رگرسیون چندک مقدار میانگین متغیر وابسته برآورده نمی‌گردد بلکه مقادیر چندک‌ها برآورده می‌گردد. بنابراین با برآورده

برآورده با سطح معنی‌داری  $a - 1$  به عنوان مثال ۹۰ درصدی است.

$$PICP = \frac{1}{n} \sum_{t=1}^n C \quad (رابطه ۱۰)$$

$$\left\{ \begin{array}{ll} 1, & PL_t^{lower} \leq y_t \leq PL_t^{upper} \\ 0, & \text{سایر حالت ها} \end{array} \right\} \quad (رابطه ۱۲)$$

در حالت ایده‌آل مقدار PICP برابر یا نزدیک مقدار فاصله اطمینان است. معیار MPI مقدار متوسط عرض دامنه عدم قطعیت را محاسبه می‌کند. به عنوان مثال فاصله بین حد بالا و پایین دامنه عدم قطعیت برابر است با:

$$MPI = \frac{1}{n} \sum_{t=1}^n (PL_t^{upper} - PL_t^{lower}) \quad (رابطه ۱۳)$$

مقدار  $MPI=0$  به مفهوم عدم وجود عدم قطعیت است. معیار ARIL مشابه MPI است و در هر گام زمانی مقدار متوسط عرض دامنه عدم قطعیت را نسبت به مقدار دبی مشاهداتی در نظر می‌گیرد.

$$ARIL = \frac{1}{n} \sum_{t=1}^n \frac{(PL_t^{upper} - PL_t^{lower})}{y_t} \quad (رابطه ۱۴)$$

در حقیقت در رابطه (۱۲) به این دلیل در مخرج مقدار مشاهداتی استفاده شده است که انتظار می‌رود با افزایش مقدار دبی مقدار عدم قطعیت برآورد آن نیز افزایش یابد.

## نتایج و بحث

پس از بهینه‌سازی پارامترهای مدل یکپارچه هیدرولوژیکی HBV با استفاده از روش SCE\_MA (از آنجا که تاکید مقاله بر روی بررسی عدم قطعیت بود نتایج آن ارائه نشده است) خروجی مدل برای دوره واسنجی و صحت سنجی بدست آمد که نتایج آن به صورت شکل (۲) است. با توجه به شکل (۲) مشاهده می‌گردد که مدل در برآورد مقادیر داده‌های کمینه عملکرد بهتری نسبت به برآورد داده‌های بیشینه داشته است. در تحقیق Dogulu *et al* (2015) در مدل سازی بارش-رواناب با استفاده از HBV عملکرد مدل در برآورد مقادیر دبی کمینه بهتر از مقادیر دبی بیشینه بود. در شکل (۳) مقادیر باقیمانده‌ها برای دوره واسنجی و صحت سنجی ارائه شده است. شکل (۳) نشان می‌دهد با افزایش مقدار دبی مقادیر باقیمانده‌ها نیز بزرگتر شده‌اند و به نوعی بیانگر ناهمگنی مقادیر باقیمانده‌ها ناهمگن می‌باشند. همچنانی بررسی نرمال بودن مقادیر باقیمانده‌ها نیز بیانگر نرمال نبودن باقیمانده‌ها است. این در حالی است که در اغلب روش‌های پارامتری برآورد عدم قطعیت نیاز است تا داده‌ها Solomatine and Shrestha (2009); Dogulu *et al* (2015) نیز مشاهده کردن مقادیر باقیمانده‌ها همگن نبوده و از توزیع نرمال پیروی نمی‌کنند.

در هر بار نمونه‌گیری با جایگزینی از اطلاعات، برخی از اطلاعات هرگز نمونه‌گیری نمی‌شوند و برخی دیگر شاید چند بار نمونه‌گیری شوند. به عبارت دیگر برخی داده‌های ورودی برای برخی درخت‌ها در اصطلاح نمونه خارج از کیسه (Out of bag) خواهند بود یعنی در ایجاد برخی درخت‌ها مشارکت نخواهند داشت. پس از آموزش مدل برای پیش‌بینی داده تست<sup>\*</sup>  $X$  تمام درخت‌های تصمیم با در نظر گرفتن این ورودی‌ها اجرا شده و در نهایت با میانگین‌گیری نتایج تمام درخت‌های تصمیم ساخته شده خروجی متوسط مدل بدست می‌آید. به دلیل اینکه بیش برآذشی در درخت تصمیم اتفاق نمی‌افتد بنابراین نیازی به هرس کردن هر درخت تصمیم نمی‌باشد. همچنانی برای هر تقسیم از بین متغیرهای موجود، متغیر تقسیم شوند به صورت تصادفی انتخاب می‌گردد. در این روش دو پارامتر مهم تعداد متغیرهای انتخابی برای تقسیم ((ارامتر M) و حداقل تعداد برگ‌ها در هر شاخه هستند که در این تحقیق مقدار پارامتر M برابر با یک سوم تعداد متغیرهای ورودی مشاهداتی و حداقل تعداد برگ‌ها در هر شاخه به صورت سعی و خطأ تعیین گردید. برای اجرای روش جنگل تصادفی از پکیج randomforest نرم‌افزار R استفاده گردید. در این تحقیق برای برآورد دامنه عدم قطعیت، مقادیر باقیمانده‌ها (اختلاف بین مقادیر دبی مشاهداتی و دبی شبیه‌سازی شده با مدل HBV) به عنوان خروجی مدل جنگل تصادفی و متغیرهایی که در روش LEC به عنوان بهترین ورودی‌ها انتخاب شده بودند به عنوان ورودی مدل جنگل تصادفی در نظر گرفته شدند. با در نظر گرفتن تعداد شبیه‌سازی‌ها برابر با ۲۵۰۰، تعداد ۲۵۰۰ درخت تصمیم با استفاده از داده‌های مرحله واسنجی ساخته شد. سپس مدل برای ورودی‌های مرحله صحت سنجی اجرا گردید و برای هر ۲۵۰۰ بردار ورودی مرحله صحت سنجی، خروجی مربوط به ۲۵۰۰ درخت تصمیم بدست آمد. در گام بعد با استفاده از ۲۵۰۰ خروجی درخت‌های تصمیم،تابع توزیع تجمعی تجربی محاسبه و قادر چندک‌های ۰/۰۵ و ۰/۹۵ باقیمانده‌های محاسبه گردید. در نهایت با در نظر گرفتن این چندک‌های محاسباتی و همچنانی مقادیر دبی شبیه‌سازی شده با مدل HBV و رابطه (۶)، دامنه عدم قطعیت برای مقادیر دبی شبیه‌سازی شده بدست آمد.

## معیارهای ارزیابی

به منظور مقایسه ارزیابی و مقایسه روش‌های مختلف برآورد عدم قطعیت از معیارهای PICP و MPI و ARIL استفاده شد. PICP نشان دهنده احتمال Interval Length (CQR) گیری مقدار مشاهداتی ( $y_t$ ) در داخل دامنه عدم قطعیت

رگرسیون بردار پشتیبان باتابع کرنل گوسی برای صدکهای ۵ و ۹۵ درصد اجرا گردید و با استفاده از روش جستجوی شبکه‌ای بهترین مجموعه پارامترها تعیین گردید. در نهایت با استفاده از مقادیر پارامترهای بهینه، مدل برای دوره صحت سنجی اجرا گردید و صدکهای ۵ و ۹۵ درصدی باقیمانده‌ها محاسبه شدند و در نهایت با استفاده از رابطه (۶) فاصله اطمینان ۹۰ درصدی برآورد گردید که نتایج آن در شکل (۶) ارائه شده است. با توجه شکل (۶) مشاهده می‌شود بیشترین داده‌های خارج از دامنه عدم قطعیت مربوط به دبی‌های سیلابی است. برای ماه‌های کم آبی در اغلب موارد حد پایین صفر بdest آمده است و در ماه‌های پر آبی داده مشاهداتی بیشتر نزدیک به حد بالا Solomatine and Shrestha (2009) هستند. در تحقیقات (Dogulu et al 2015) جهت برآورد چندکهای مختلف از یک مدل هوش مصنوعی استفاده کردند. در این تحقیق علاوه بر استفاده از روش هوش مصنوعی از رویکردی که مبتنی بر خوشه‌بندی فازی است استفاده شد. در این روش با استفاده پارامترهای خوشه‌بندی فازی که برای دوره واسنجی محاسبه گردیده، مقادیر عضویت بردارهای ورودی مربوط به دوره صحت سنجی در کلاس‌های مختلف محاسبه گردید. سپس با استفاده از چندکهای محاسبه شده در جدول (۱) و رابطه (۶) مقادیر چندکهای باقیمانده‌ها برای هر بردار ورودی و در نهایت با استفاده از رابطه (۶) و مقادیر دبی شبیه‌سازی شده توسط مدل HBV، مقادیر چندک‌ها و دامنه عدم قطعیت دبی خروجی محاسبه گردید که نتایج آن در شکل (۶) ارائه شده است. با توجه به این شکل ملاحظه می‌شود عملکرد این روش شبیه عملکرد روش در حالتی که ماشین بردار رگرسیون استفاده شده است می‌باشد و اختلاف بین شکل‌ها بسیار جزئی هستند. بنابراین با توجه به محاسبات کمتر و عملکرد مناسب روش LEC، در حالتی که آموزش ندیده نسبت به حالتی که با مدل هوش مصنوعی آموزش داده شده باشد، استفاده از این روش پیشنهاد می‌گردد.

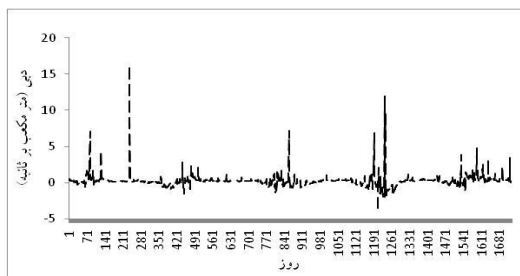
جدول ۱. مقادیر چندک‌ها در خوشه‌های مختلف

صدک٪	۹۵٪	صدک٪
-۳/۰۱	۲/۱۲	خوشه ۱
-۴/۵۶	۶/۸۶	خوشه ۲
-۲/۵۶	۳/۶۴	خوشه ۳
-۱/۲۷	۱/۵۶	خوشه ۴

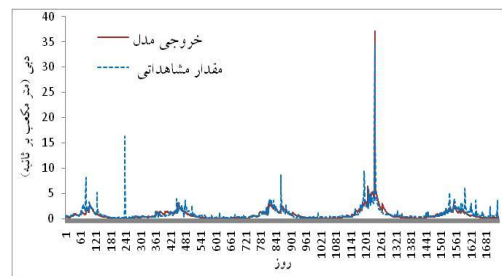
در گام بعد با استفاده از خوشه‌بندی فازی، باقیمانده‌ها از نظر شرایط مختلف هیدرومئولوژیکی خوشه‌بندی شدند. برای این منظور ابتدا در روش LEC مهمترین پارامترهای ورودی با استفاده از ضریب همبستگی وتابع Importance جنگل تصادفی تعیین شدند که در این قسمت متغیرهای بارش و دبی برآورده همان گام، دبی مشاهداتی یک گام زمانی قبل، باقیمانده‌ها در یک و سه گام زمانی قبل به عنوان مهمترین متغیرها انتخاب شدند. روش LEC یک روش موضعی است در این حالت چنانچه دامنه عدم قطعیت برآورد گردد دارای نوسانات زیاد است. جهت رفع این مشکل و افزایش خودهمبستگی بین مقادیر حدهای بالا و پایین دامنه عدم قطعیت از مقادیر ورودی‌های دبی برآورده و مشاهداتی و بارندگی تا چهار گام زمانی متوضط‌گیری شد و به عنوان ورودی‌های مدل استفاده گردید.

پس از شناسایی متغیرهای مهم در روش خوشه‌بندی فازی با استفاده از شاخص‌های ارزیابی اقدام به تعیین تعداد خوشه بهینه گردید. نتایج مربوط به شاخص‌های مختلف ارزیابی در شکل (۶) ارائه شده است. با توجه به شکل (۶) مشاهده می‌شود با افزایش تعداد خوشه مقدار تمام شاخص‌ها به غیر از شاخص VFS افزایش می‌یابد که بیانگر عدم توانایی این شاخص‌ها در تعیین تعداد خوشه بهینه می‌باشد. بنابراین در ادامه از شاخص‌های MPI و PICP برای تعیین تعداد خوشه بهینه استفاده گردید که نتایج این دو روش در شکل (۶) ارائه شده است؛ این شکل نشان می‌دهد که با افزایش تعداد خوشه، شاخص‌های MPI و PICP به ترتیب کاهش و افزایش پیدا می‌کنند. در تعداد خوشه برابر با چهار یک حالت تعادلی بین این دو شاخص برقرار است؛ بنابراین چهار خوشه به عنوان تعداد خوشه بهینه انتخاب گردید. در تحقیقات Shrestha and Solomatine (2009); Dogulu et al (2015) تعداد ۶ خوشه به عنوان تعداد خوشه بهینه تشخیص داده شدند.

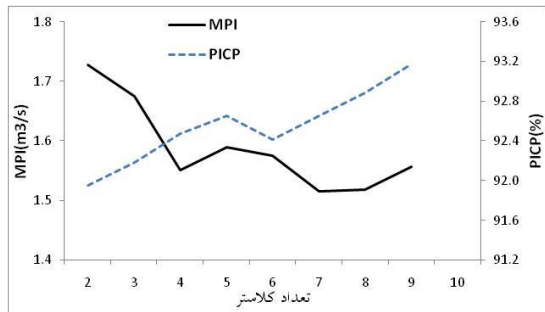
شکل (۶) قسمت‌های مختلف هیدروگراف را که در خوشه‌های مختلف قرار گرفته‌اند نشان می‌دهد. مطابق شکل (۶) مشاهده می‌شود که در خوشه‌های ۱ و ۳ به ترتیب دبی‌های مربوط به ماه‌های کم و پر آبی قرار می‌گیرند، در خوشه ۴ دبی‌های سیلابی و در خوشه ۲ مقادیر دبی در دامنه‌های مختلف که در سایر خوشه‌ها نمی‌باشند قرار گرفته‌اند. پس از برآذش توزیع تجربی به مقادیر باقیمانده‌های هر خوشه مقادیر چندک‌های ۵ و ۹۵ درصدی هر خوشه محاسبه گردید که در جدول (۱) آورده شده است. با در نظر گرفتن ورودی‌ها، مدل



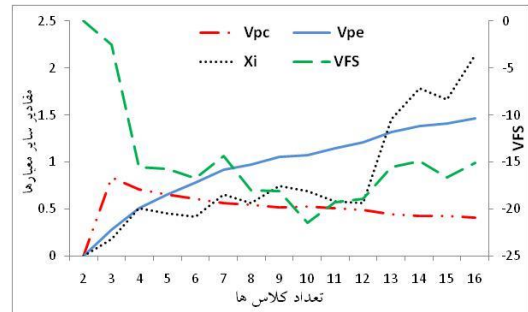
شکل ۳. مقادیر باقیماندهای گام‌های زمانی مختلف HBV



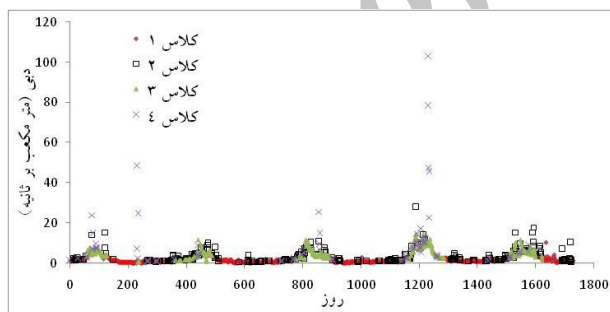
شکل ۲. مقدار مشاهداتی و برآورد شده دبی با استفاده از مدل



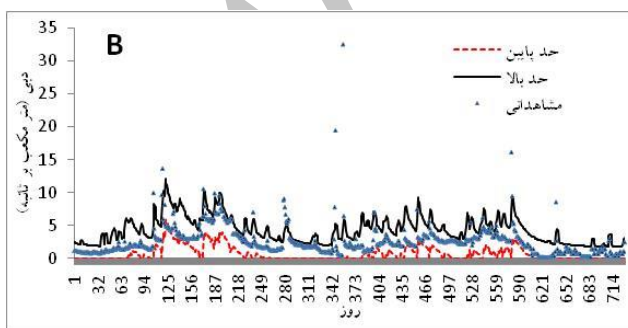
شکل ۵. مقادیر شاخص‌های MPI و PICP برای تعداد کلاس‌های مختلف



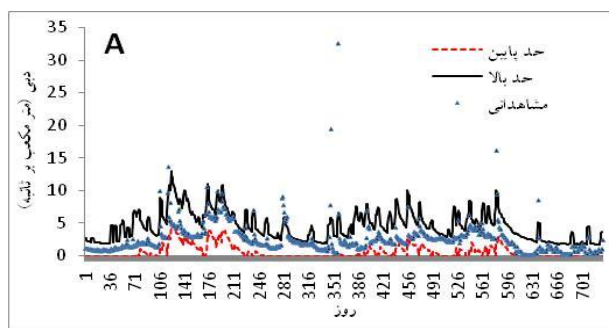
شکل ۴. مقادیر معیارهای ارزیابی برای تعداد کلاس‌های مختلف



شکل ۶. مقادیر دبی‌ها در کلاس‌های مختلف



شکل ۷. دامنه عدم قطعیت برآوردی a: روش LEC در حالتی که آموزش داده نشده است

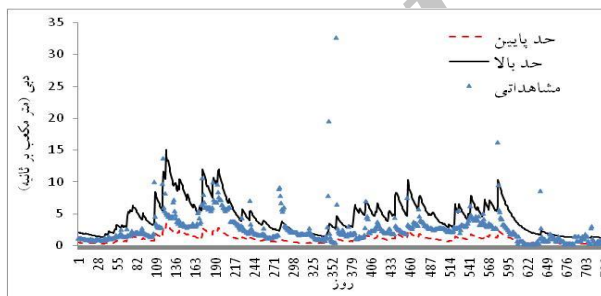


بسیاری موارد مقدار حد پایین را برابر با صفر برآورد کرده بود در این روش مقادیر حد پایین بزرگتر از صفر بدست آمده است. در صورتی که مانند روش LEC در دبی‌های بالا مقدار مشاهداتی نزدیک به حد بالا و در دبی‌های پایین داده‌های مشاهداتی نزدیک حد پایین بوده‌اند. همچنین در این روش نیز مانند روش

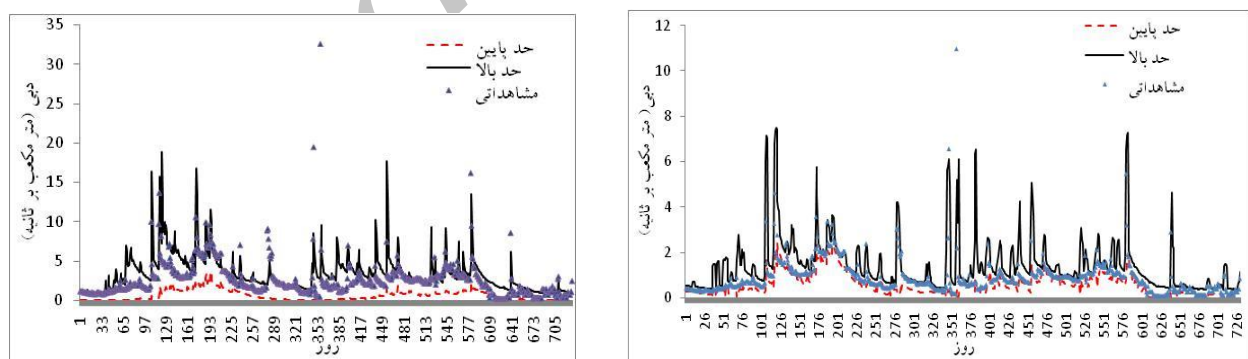
در روش رگرسیون چندک فقط از مقادیر دبی شبیه‌سازی شده به عنوان ورودی مدل استفاده و مقادیر صدک‌های ۵ و ۹۵ درصد برای خروجی محاسبه گردید که در شکل (۸) دامنه عدم قطعیت به همراه مقادیر دبی مشاهداتی ارائه شده است. با توجه به شکل (۸) مشاهده می‌شود که برخلاف روش LEC که در

منحنی‌های حد بالا و حد پایین، کاسته شده و فاصله بین حد پایین و بالا نیز کاهش پیدا می‌کند، در این حالت تعداد زیادی از مشاهدات خارج از دامنه عدم قطعیت قرار گرفتند. در تعداد ۵۰۰ برگ بین مقدار فاصله حد بالا و پایین و نوسانات منحنی‌های حد بالا و حد پایین یک حالت تعادل بر قرار گردید و این تعداد به عنوان مقدار بهینه انتخاب گردید. در نهایت مدل با تعداد ۵۰۰ برگ در هر شاخه برای دوره صحت سنجی اجرا گردید که نتایج آن در شکل (۹) ارائه شده است. با توجه به این شکل ملاحظه می‌شود در این روش نسبت به دو روش دیگر فاصله بین حد پایین و حد بالا کمتر می‌باشد. در این روش نوسانات مربوط به حد پایین کم بوده، در حالی که برای حد بالا نوسانات منحنی عدم قطعیت بدست آمده بیشتر شده است و برای برخی مقادیر دبی حد بالای خیلی بزرگی بدست آمده است.

LEC بیشترین داده‌های خارج از دامنه اطمینان مربوط به داده‌های پیک می‌باشند. با مقایسه دو شکل (۷) و (۸) می‌توان مشاهده کرد روش LEC دامنه عدم قطعیت بزرگتر نسبت به روش رگرسیون چندک ارائه داده است. این در حالی است که در تحقیق (Solomatine and Shrestha 2009) دامنه عدم قطعیت بدست آمده توسط روش رگرسیون چندک بزرگتر بود. از روش جنگل تصادفی نیز برای بررسی عدم قطعیت نتایج مدل هیدرولوژیکی استفاده شد. در روش جنگل تصادفی برای تعیین حداقل تعداد برگ در هر شاخه، با استفاده از آزمون و خطا تعداد برگی که در آن عملکرد مدل در برآورد دامنه عدم قطعیت بهترین نتیجه را ارائه داد به عنوان مقدار بهینه انتخاب گردید. در این تحقیق مشاهده شد چنانچه تعداد برگ کم باشد مدل بصورت موضعی کار کرده و نوسانات منحنی‌های حد بالا و حد پایین، زیاد می‌باشد و دامنه عدم قطعیت محاسباتی نیز بزرگ بوده است. در صورتی که با افزایش تعداد برگ از نوسانات



شکل ۸. دامنه عدم قطعیت محاسبه شده با استفاده از رگرسیون چندک



شکل ۹. دامنه عدم قطعیت محاسبه شده با استفاده از روش جنگل تصادفی شکل ۱۰. دامنه عدم قطعیت محاسبه شده با روش GLUE

جدول ۲. مقادیر معیارهای ارزیابی برای روش‌های مختلف برآورد عدم قطعیت

معیار آماری	رگرسیون چندک	LEC آموزش داده با ماشین بردار	LEC بدون آموزش	جنگل تصادفی	GLUE
PICP	۰/۸۶۶	۰/۹۶۷	۰/۹۵۱	۰/۸۱۲	۰/۶۹۳
MPI	۱/۱۶۴	۱/۳۰۷	۱/۱۹۹	۰/۸۴۲	۰/۹۴۹
ARIL	۱/۷۲۱	۲/۲۲۶	۲/۰۹۹	۱/۲۸۲	۱/۴۶۱

عملکرد آن روش بهتر است)، مقادیر PICP بدست آمده توسط روش‌های رگرسیون چندکی و LEC در حالتی که آموزش نیدیده باشد بهتر هستند. کمترین مقادیر MPI مربوطه به روش جنگل تصادفی و بیشترین مقدار آن مربوط روش LEC در حالتی که آموزش دیده باشد، است. بنابراین با توجه به این معیار بهترین عملکرد مربوط به روش جنگل تصادفی و سپس روش GLUE است. (۲) در مقایسه با نتایج بدست آمده در تحقیق (Solomatine and Shrestha 2009) در این تحقیق دامنه عدم قطعیت محاسبه شده با روش LEC، تعداد بیشتری داده‌های مشاهداتی (مقدار شاخص PICP بزرگتر) را در بر می‌گیرد. در تحقیق (Dogulu *et al* 2015) مشاهده کردند برای داده‌های متوسط و سیلابی دامنه عدم قطعیت و مقادیر پارامترهای مقدارها را می‌توان در تعداد خوشه‌ها و همچنین نوع ورودی‌ها در مسئله را می‌توان در روش GLUE بود که یک دلیل این نظر گرفته شده در روش LEC دانست.

به طور کلی نتایج بدست آمده در این قسمت نشان می‌دهد روش رگرسیون چندکی، سپس روش LEC بدون آموزش، بهترین عملکرد را در برآورد عدم قطعیت را داشته‌اند و بدترین عملکرد نیز توسط جنگل تصادفی بدست آمده است. در تحقیق (Dogulu *et al* 2015) در برخی حوضه‌ها مدل رگرسیون چندک و در برخی از حوضه‌ها روش LEC عملکرد بهتری نسبت به یکدیگر داشته‌اند. در تحقیقات Weerts *et al* (2011); Lopez *et al* (2014) روش رگرسیون چندک عملکرد خوبی در برآورد دامنه عدم قطعیت داشته است. در مقایسه با روش‌های ناپارامتریک روش GLUE بدترین عملکرد را از نظر شاخص PICP داشته است و از نظر معیارهای MPI و ARIL بهتر عمل Solomatine and Shrestha (2009) است. در مقایسه با تحقیق (2009)، روش GLUE دامنه عدم قطعیت کوچکتری نسبت به روش‌های دیگر ارائه داده بود) اگر چه دامنه عدم قطعیت بدست آمده بزرگتر است، اما همچنان از نظر تعداد داده‌های خارج از دامنه عدم قطعیت روش GLUE عملکرد مناسبی نداشت.

### نتیجه‌گیری

معمولًاً بین نتایج همه مدل‌ها و مقادیر مشاهده شده تفاوت وجود دارد که عموماً عدم قطعیت خوانده می‌شود. موضوع شبیه‌سازی رواناب همراه با عدم قطعیت است که بسیاری از آن عدم قطعیتها فقط به طور نسبی و تعداد محدودی از آن عدم قطعیتها توسط ابزارهای آنالیزی موجود شناخته شده است. بعضی از این عدم قطعیتها ریشه در زیربنای علمی دارند، در

در روش جنگل تصادفی اگر چه مقدار دامنه عدم قطعیت برای داده‌های متوسط خیلی کم است اما با توجه به ورودی‌ها و فراوانی بیشتر دیگری‌های نسبت به دیگری‌های سیلابی بوده‌اند، مدل به نوعی توانسته حافظه بلند مدت موجود در داده‌ها را حفظ کند و در برآورد دامنه عدم قطعیت استفاده کند در این حالت تعداد بیشتری از داده‌های مشاهداتی در دامنه عدم قطعیت قرار گرفته‌اند. در بخش دیگری از تحقیق به منظور بررسی کارایی روش‌های مبتنی بر تجزیه و تحلیل باقیمانده‌ها (روش‌های ناپارامتریک) نسبت به روش پارامتریک، دامنه عدم قطعیت توسط روش GLUE برآورد گردید. این روش از زمان ارائه توسط Beven and Binley (1992) بطور گسترده‌ای در برآورد عدم قطعیت مدل‌های هیدرولوژیکی استفاده شده است و در آن تأثیر منابع عدم قطعیت مختلف در قالب عدم قطعیت پارامترها بررسی می‌شود. در این روش با نمونه‌برداری به تعداد زیاد از مجموعه پارامترها و اجرا کردن مدل با در نظر گرفتن معیار ناش ساتکلیف به عنوان تابع احتمال دامنه عدم قطعیت برآورد می‌شود. این روش بر خلاف روش‌ها قبل نیازی به مقادیر ورودی‌ها در گام‌های زمانی قبل نداشته و به نوعی فقط براساس مقادیر دیگر دوره واسنجی اقدام به برآورد دامنه عدم قطعیت برای دوره صحت سنジ می‌کند. برای اجرای این روش بین کدهای روش GLUE و مدل هیدرولوژیکی HBV در نرمافزار متلب لینک برقرار گردید و با در نظر گرفتن توزیع پیشین یکنواخت برای تمام پارامترها، به تعداد ۱۵۰۰۰ مرتبه از مجموعه پارامترها نمونه‌برداری شد و مدل HBV با این مجموعه پارامترها اجرا گردید. در شکل (۱۰) دامنه عدم قطعیت برآورد شده توسط روش GLUE ارائه شده است. توجه به این شکل نشان می‌دهد در اغلب موارد داده‌های مشاهداتی نزدیک حد بالا هستند و حد پایین در برخی موارد مقادیر نزدیک به صفر دارد و به نوعی می‌توان گفت حد پایین آن یک حالت بینابین روش LEC و رگرسیون چندک است. در این روش برای برخی داده‌های سیلابی حد بالای بزرگی برآورد شده است برخی داده‌های سیلابی که خارج از دامنه عدم قطعیت بدست آمده توسط روش‌های رگرسیون چندک و LEC قرار گرفته‌اند، در این روش در محدوده دامنه عدم قطعیت قرار گرفته‌اند.

در جدول (۲) نتایج معیارهای ارزیابی مربوط به روش‌های مختلف ارائه شده است. با توجه به جدول (۲) ملاحظه می‌شود کمترین مقادیر PICP مربوط به روش جنگل تصادفی و بیشترین مقدار مربوط به روش LEC است، در حالتی که آموزش داده شده باشد. با در نظر گرفتن مقدار حد اطمینان ۹۰ درصدی (هر قدر مقدار PICP به مقدار  $0/9$  نزدیکتر باشد

ناپارامتریک روش پارامتریک GLUE از نظر معیار PICP بدترین عملکرد و از نظر معیارهای MPI و ARIL عملکرد بهتری داشته است. در تمام مدل‌ها بیشترین داده‌های خارج از دامنه عدم قطعیت مربوط به جریان‌های سیلابی بوده است که یک دلیل این مسئله را می‌توان در تعداد کم داده‌های سیلابی در دوره صحبت سنگی و دلیل دیگر آن را می‌توان در آنی بودن و عدم وجود حافظه بلند مدت در داده‌های سیلابی دانست. نتایج کلی این تحقیق بیانگر عملکرد بهتر روش رگرسیون چندک در برآوردهای عدم قطعیت نسبت به سه روش دیگر مورد بررسی در این تحقیق است. در روش رگرسیون چندک تنها ورودی در نظر گرفته شده مقادیر دبی برآورده است که در این حالت فرض می‌شود منابع مختلف عدم قطعیت از طریق مقادیر برآورده بر روی خروجی مدل مؤثر می‌باشند. به عبارت دیگر در روش رگرسیون چندک فقط یک ورودی لازم بوده و از نظر ساختار نسبت به روش LEC که تعداد ورودی‌های بیشتر و همچنین مراحل بیشتری دارد، ساده‌تر است. در روش‌های مبتنی بر تجزیه و تحلیل باقیمانده‌ها داده‌های دوره واسنجی باید داده‌های حدی را در خود داشته باشد در غیر این صورت مدل اقدام به برونویابی می‌کند که در این حالت مقادیر خطای برآوردهای عدم قطعیت به شدت افزایش می‌یابد.

## REFERENCES

- AghaKouchak, A. and Habib, E. (2010). Application of a conceptual hydrologic model in teaching hydrologic processes. *Int. J. Eng. Educ.* 26, 963–973.
- Beven, K.. and Binley, A. (1992). The future of distributed models: Model calibration and uncertainty prediction. *Hydrol. Process.*, 6, 279–298.
- Bezdek, J.C. (1974a). Numerical taxonomy with fuzzy sets. *Journal of Mathematical Biology*, 1: 57–71.
- Bezdek, J.C. (1974b). Cluster validity with fuzzy sets. *Journal of Cybernetics*, 3 (3), 58–72.
- Breiman, Leo. (2001). Random forests. *Mach. Learn.*, 45 (1), 5–32.
- Chang, C. H., Yang J.C. and Tung, Y.K. (1993). Sensitivity and uncertainty analysis of a sediment transport models: a global approach. *Stochastic Hydrological Hydraulics*, 7 (4), 299–314 .
- Dogulu, N., López López, P., Solomatine, D. P., Weerts, A. H. and Shrestha, D. L. (2015). Estimation of predictive hydrologic uncertainty using the quantile regression and UNEEC methods and their comparison on contrasting catchments. *Hydrol. Earth Syst. Sci.*, 19, 3181–3201.
- Evin, G., Thyer, M. Kavetski, D. McInerney D. and Kuczera, G. (2014). Comparison of joint versus postprocessor approaches for hydrological uncertainty estimation accounting for error
- حالی که دیگر عدم قطعیت‌ها مرتبط با عدم فهم کامل چگونگی اثر ماهیت پیچیده طبیعت می‌باشد. ارائه نتایج مدل بدون در نظر گرفتن عدم قطعیت آن فاقد ارزش برای تصمیم‌گیرندگان است. در اغلب تحقیقات برآوردهای عدم قطعیت با استفاده از روش‌های پارامتریک، دامنه عدم قطعیت برای یک منبع خطا که به نوعی بر خروجی مدل مؤثر هستند برآورده می‌گردد. بدین منظور در این تحقیق اقدام به برآوردهای عدم قطعیت خروجی مدل هیدرولوژیک HBV با استفاده از روش‌های مبتنی بر تجزیه و تحلیل مقادیر باقیمانده‌ها گردید. در ابتدا با استفاده از روش تکامل تصادفی جوامع پارامترهای مدل HBV بهینه گردید و در گام بعد مدل برای دوره صحبت‌سنگی اجرا گردید. پس از اجرای مدل مقادیر باقیمانده‌ها برای دوره واسنجی و دوره صحبت‌سنگی محاسبه گردید و روش‌های مختلف برآورده عدم قطعیت اجرا گردید. نتایج نشان داد کمترین مقدار دامنه عدم قطعیت مربوط به روش جنگل تصادفی و بزرگترین دامنه عدم قطعیت مربوط به روش LEC می‌باشد. روش LEC بدون آموزش با هوش مصنوعی عملکرد بهتری نسبت به روش LEC آموزش داده شده با هوش مصنوعی، داشت. در مقایسه با روش‌های autocorrelation and hetero-scedasticity. *Water Resour. Res.*, 50 (3), 2350–2375.
- Fukuyama, Y. and Sugeno, M. (1989). A new method of choosing the number of clusters for the fuzzy c-means method. Proceedings of Fifth Fuzzy Systems Symposium, pp. 247–250 (in Japanese)
- Houska, T., Multsch, P., Kraft, H., Frede, G. and Breuer, L. (2014). Monte Carlo-Based calibration and uncertainty analysis of a coupled plant growth and hydrological model. *Biogeosciences*, 11, 2069–2082.
- Khu, S.T. and Werner, M.G.F. (2003). Reduction of monte-carlo simulation runs for uncertainty estimation in hydrological modeling. *Hydrology and Earth System Sciences*. 7 (5), 680–692.
- Koenker, R. (2005). Quantile Regression, Cambridge University Press.
- Koenker, R. and Bassett, J.r. (1978). Regression Quantiles, *Econometrica*, 1, 33–50.
- López López, P., Verkade, J.S., Weerts, A .H. and Solomatine, D.P. (2014). Alternative configurations of quantile regression for estimating predictive uncertainty in water level forecasts for the Upper Severn River: a comparison. *Hydrol. Earth Syst. Sci. Discuss.* 11 (4), 3811 – 3855.
- Malone, B.P., McBratney, A.B. and Minasny, B. (2011). Empirical estimates of uncertainty for mapping continuous depth functions of soil

- attributes. *Geoderma*, 160 (3– 4), 614-626.
- Matott, L.S., Babendreier, J.E. and Purucker, S.T. (2009). Evaluating uncertainty in integrated environmental models: A review of concepts and tools. *Water Resources Research*, 45, W06421.
- Montanari, A. (2011). Uncertainty of Hydrological Predictions. In: Peter Wilderer (ed.) *Treatise on Water Science*, vol 2. pp. 459–478 Oxford: Academic Press.
- Rouhani, H. and Farahi Moghadam, M. (2014). Application of the Genetic Algorithm Technique for Optimization of the Hydrologic Tank and SIMHYD Models' Parameters. *Journal Of Range and Watershed Management (Iranian Journal Of Natural Resources)*. 66(4), 521-533. In Farsi).
- Shrestha, D. L., and D. P. Solomatine (2006). Machine learning approaches for estimation of prediction interval for the model output , *Neural Networks* , 19 (2), 225 – 235, doi: 10.1016/j.neunet. 2006. 01. 012.
- Siebert, J. and Vis, M. J. P. (2012). Teachinghydrological modeling with a userfriendly catchment runoff-model software package, *Earth Syst. Sci.* 16, 3315-3325.
- Solomatine, D. P. and Siek, M. B. (2006). Modular learning models in forecasting natural phenomena. *Neural Networks*, 19(2), 215-224.
- Solomatine, D. P. and Shrestha, D. L. (2009). A novel method to estimate model uncertainty using machine learning techniques, *Water Re-sour. Res.*, 45, W00B11.
- Walker, W.E., Harremoës, P., Rotmans, J., Van der Sluis, J.P., Van Asselt, M.B.A., Janssen, P. and Krayer von Krauss M.P. (2003). Defining uncertainty a conceptual basis for uncertainty management in model-based decision support. *Integrated Assessment*, 4 (1), 5-17
- Weerts, A. H., Winsemius, H. C. and Verkade, J. S. (2011). Estima-tion of predictive hydrological uncertainty using quantile re-gression: examples from the National Flood Forecasting Sys-tem (England and Wales), *Hydrol. Earth Syst. Sci.*, 15, 255–265.
- Xu, T., and Valocchi, A .J.(2015). Data-driven methods to improve base flow prediction of a regional groundwater model. *Computers & Geosciences*. 85(B), 124-13.